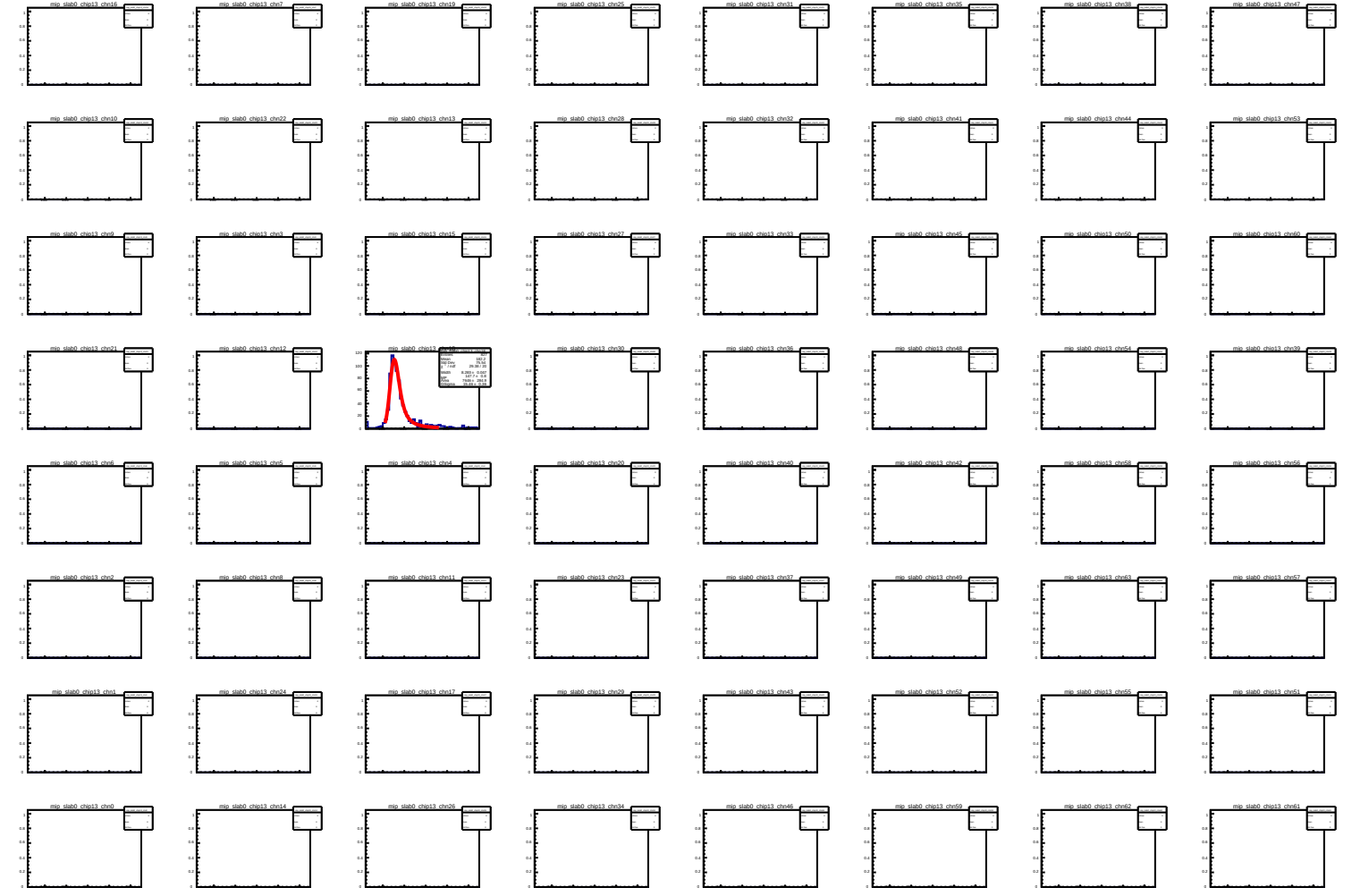
mip_slab0_chip13_chn16
mip_slab0_chip13_chn7
mip_slab0_chip13_chn19
mip_slab0_chip13_chn25
mip_slab0_chip13_chn31
mip_slab0_chip13_chn35
mip_slab0_chip13_chn38
mip_slab0_chip13_chn47
mip_slab0_chip13_chn10
mip_slab0_chip13_chn22
mip_slab0_chip13_chn13
mip_slab0_chip13_chn28
mip_slab0_chip13_chn32
mip_slab0_chip13_chn41
mip_slab0_chip13_chn44
mip_slab0_chip13_chn53
mip_slab0_chip13_chn9
mip_slab0_chip13_chn3
mip_slab0_chip13_chn15
mip_slab0_chip13_chn27
mip_slab0_chip13_chn33
mip_slab0_chip13_chn45
mip_slab0_chip13_chn50
mip_slab0_chip13_chn60
mip_slab0_chip13_chn21
mip_slab0_chip13_chn12
mip_slab0_chip13_chn18
Entries 1000
Mean 127.2
Std Dev 25.56
χ² / ndf 29.79 / 30
Const 4.283 ± 0.207
Mean 127.7 ± 0.8
Sigma 19.81 ± 0.63
mip_slab0_chip13_chn30
mip_slab0_chip13_chn36
mip_slab0_chip13_chn48
mip_slab0_chip13_chn54
mip_slab0_chip13_chn39
mip_slab0_chip13_chn6
mip_slab0_chip13_chn5
mip_slab0_chip13_chn4
mip_slab0_chip13_chn20
mip_slab0_chip13_chn40
mip_slab0_chip13_chn42
mip_slab0_chip13_chn58
mip_slab0_chip13_chn56
mip_slab0_chip13_chn2
mip_slab0_chip13_chn8
mip_slab0_chip13_chn11
mip_slab0_chip13_chn23
mip_slab0_chip13_chn37
mip_slab0_chip13_chn49
mip_slab0_chip13_chn63
mip_slab0_chip13_chn57
mip_slab0_chip13_chn1
mip_slab0_chip13_chn24
mip_slab0_chip13_chn17
mip_slab0_chip13_chn29
mip_slab0_chip13_chn43
mip_slab0_chip13_chn52
mip_slab0_chip13_chn55
mip_slab0_chip13_chn51
mip_slab0_chip13_chn0
mip_slab0_chip13_chn14
mip_slab0_chip13_chn26
mip_slab0_chip13_chn34
mip_slab0_chip13_chn46
mip_slab0_chip13_chn59
mip_slab0_chip13_chn62
mip_slab0_chip13_chn61

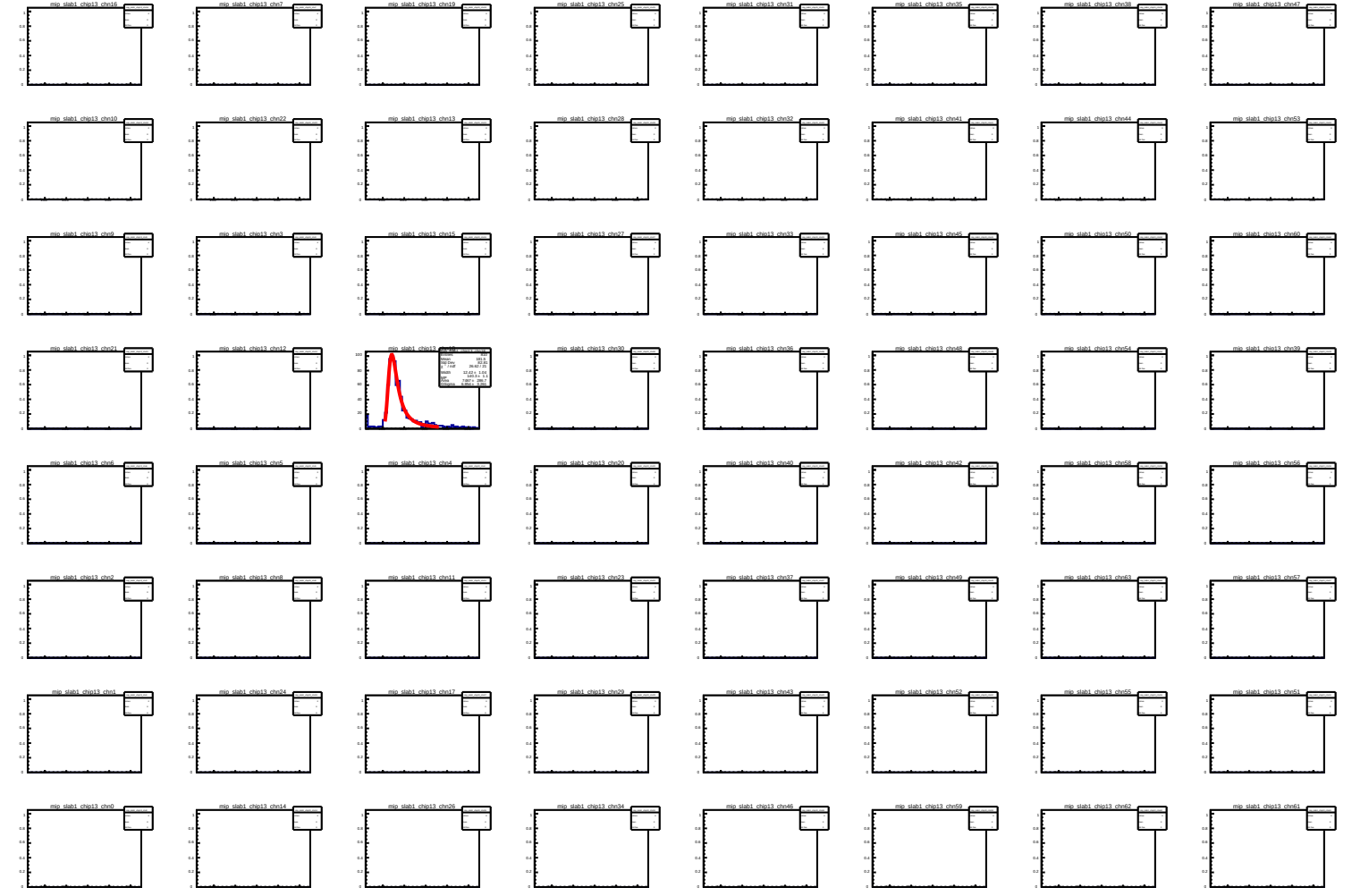
mip_slab1_chip13_chn16
mip_slab1_chip13_chn7
mip_slab1_chip13_chn19
mip_slab1_chip13_chn25
mip_slab1_chip13_chn31
mip_slab1_chip13_chn35
mip_slab1_chip13_chn38
mip_slab1_chip13_chn47
mip_slab1_chip13_chn10
mip_slab1_chip13_chn22
mip_slab1_chip13_chn13
mip_slab1_chip13_chn28
mip_slab1_chip13_chn32
mip_slab1_chip13_chn41
mip_slab1_chip13_chn44
mip_slab1_chip13_chn53
mip_slab1_chip13_chn9
mip_slab1_chip13_chn3
mip_slab1_chip13_chn15
mip_slab1_chip13_chn27
mip_slab1_chip13_chn33
mip_slab1_chip13_chn45
mip_slab1_chip13_chn50
mip_slab1_chip13_chn60
mip_slab1_chip13_chn21
mip_slab1_chip13_chn12
mip_slab1_chip13_chn18
Entries 103.0
Mean 20.02
Std Dev 2.748
χ² / ndf 12.23 / 19
Integral 103.0 ± 1.1
Peak 7.007 ± 200.7
Sigma 0.574 ± 0.7
mip_slab1_chip13_chn30
mip_slab1_chip13_chn36
mip_slab1_chip13_chn48
mip_slab1_chip13_chn54
mip_slab1_chip13_chn39
mip_slab1_chip13_chn6
mip_slab1_chip13_chn5
mip_slab1_chip13_chn4
mip_slab1_chip13_chn20
mip_slab1_chip13_chn40
mip_slab1_chip13_chn42
mip_slab1_chip13_chn58
mip_slab1_chip13_chn56
mip_slab1_chip13_chn2
mip_slab1_chip13_chn8
mip_slab1_chip13_chn11
mip_slab1_chip13_chn23
mip_slab1_chip13_chn37
mip_slab1_chip13_chn49
mip_slab1_chip13_chn63
mip_slab1_chip13_chn57
mip_slab1_chip13_chn1
mip_slab1_chip13_chn24
mip_slab1_chip13_chn17
mip_slab1_chip13_chn29
mip_slab1_chip13_chn43
mip_slab1_chip13_chn52
mip_slab1_chip13_chn55
mip_slab1_chip13_chn51
mip_slab1_chip13_chn0
mip_slab1_chip13_chn14
mip_slab1_chip13_chn26
mip_slab1_chip13_chn34
mip_slab1_chip13_chn46
mip_slab1_chip13_chn59
mip_slab1_chip13_chn62
mip_slab1_chip13_chn61

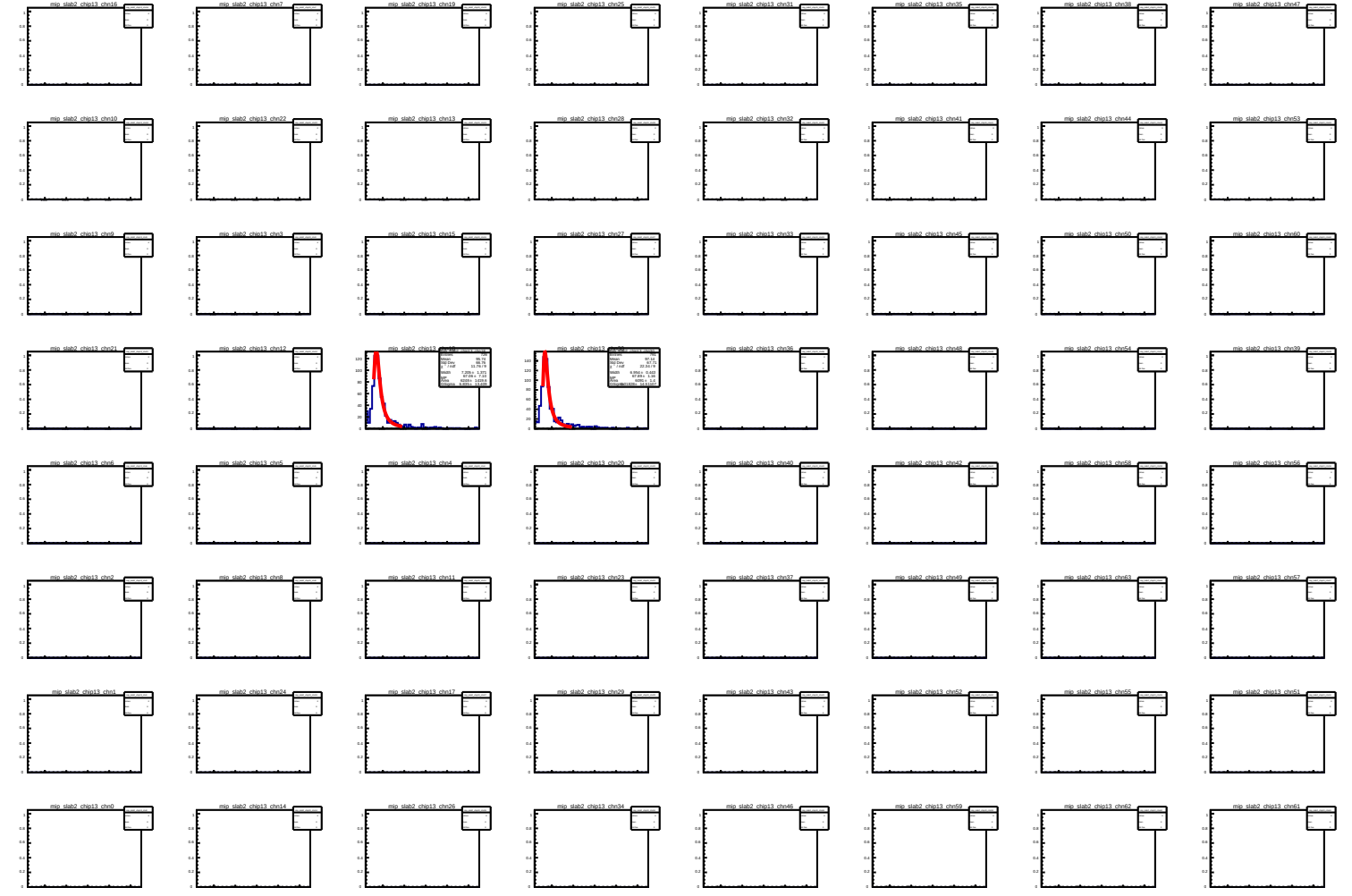
mip_slab2_chip13_chn16
mip_slab2_chip13_chn7
mip_slab2_chip13_chn19
mip_slab2_chip13_chn25
mip_slab2_chip13_chn31
mip_slab2_chip13_chn35
mip_slab2_chip13_chn38
mip_slab2_chip13_chn47
mip_slab2_chip13_chn10
mip_slab2_chip13_chn22
mip_slab2_chip13_chn13
mip_slab2_chip13_chn28
mip_slab2_chip13_chn32
mip_slab2_chip13_chn41
mip_slab2_chip13_chn44
mip_slab2_chip13_chn53
mip_slab2_chip13_chn9
mip_slab2_chip13_chn3
mip_slab2_chip13_chn15
mip_slab2_chip13_chn27
mip_slab2_chip13_chn33
mip_slab2_chip13_chn45
mip_slab2_chip13_chn50
mip_slab2_chip13_chn60
mip_slab2_chip13_chn21
mip_slab2_chip13_chn12
mip_slab2_chip13_chn18
Mean 95.74
Sigma 10.75
Peak Chn 95.75
Peak 5.250e+ 5.375
Mean 97.69e+ 7.116
Sigma 9.694e+ 3.243e-3
Chi2/NDF 1.257e+ 1.414
mip_slab2_chip13_chn30
Mean 97.32
Sigma 10.71
Peak Chn 97.71
Peak 22.93
Mean 97.69e+ 7.116
Sigma 9.694e+ 3.243
Chi2/NDF 1.257e+ 1.414
mip_slab2_chip13_chn36
mip_slab2_chip13_chn48
mip_slab2_chip13_chn54
mip_slab2_chip13_chn39
mip_slab2_chip13_chn6
mip_slab2_chip13_chn5
mip_slab2_chip13_chn4
mip_slab2_chip13_chn20
mip_slab2_chip13_chn40
mip_slab2_chip13_chn42
mip_slab2_chip13_chn58
mip_slab2_chip13_chn56
mip_slab2_chip13_chn2
mip_slab2_chip13_chn8
mip_slab2_chip13_chn11
mip_slab2_chip13_chn23
mip_slab2_chip13_chn37
mip_slab2_chip13_chn49
mip_slab2_chip13_chn63
mip_slab2_chip13_chn57
mip_slab2_chip13_chn1
mip_slab2_chip13_chn24
mip_slab2_chip13_chn17
mip_slab2_chip13_chn29
mip_slab2_chip13_chn43
mip_slab2_chip13_chn52
mip_slab2_chip13_chn55
mip_slab2_chip13_chn51
mip_slab2_chip13_chn0
mip_slab2_chip13_chn14
mip_slab2_chip13_chn26
mip_slab2_chip13_chn34
mip_slab2_chip13_chn46
mip_slab2_chip13_chn59
mip_slab2_chip13_chn62
mip_slab2_chip13_chn61

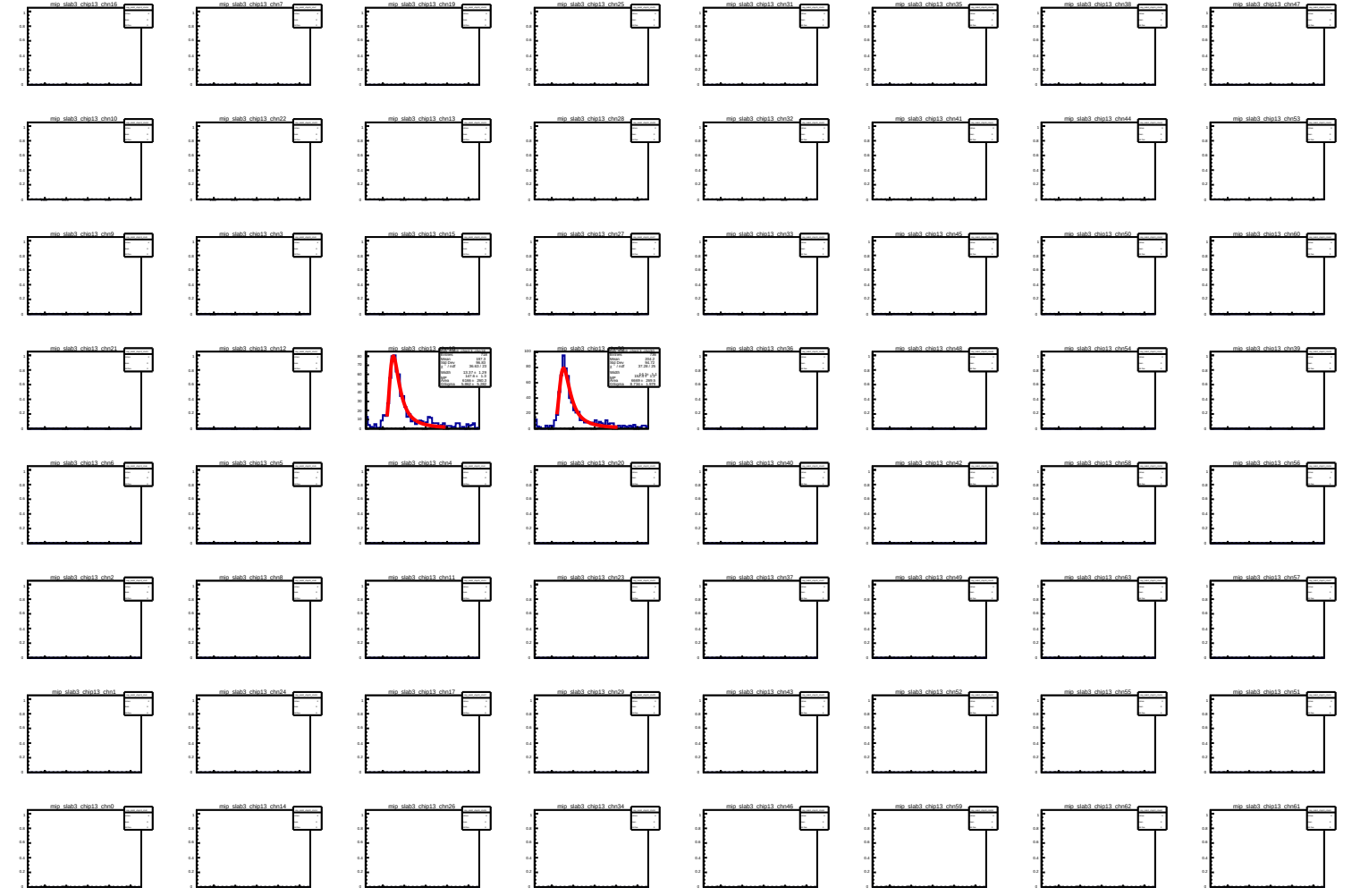
mip_slab3_chip13_chn16
mip_slab3_chip13_chn7
mip_slab3_chip13_chn19
mip_slab3_chip13_chn25
mip_slab3_chip13_chn31
mip_slab3_chip13_chn35
mip_slab3_chip13_chn38
mip_slab3_chip13_chn47
mip_slab3_chip13_chn10
mip_slab3_chip13_chn22
mip_slab3_chip13_chn13
mip_slab3_chip13_chn28
mip_slab3_chip13_chn32
mip_slab3_chip13_chn41
mip_slab3_chip13_chn44
mip_slab3_chip13_chn53
mip_slab3_chip13_chn9
mip_slab3_chip13_chn3
mip_slab3_chip13_chn15
mip_slab3_chip13_chn27
mip_slab3_chip13_chn33
mip_slab3_chip13_chn45
mip_slab3_chip13_chn50
mip_slab3_chip13_chn60
mip_slab3_chip13_chn21
mip_slab3_chip13_chn12
mip_slab3_chip13_chn36
mip_slab3_chip13_chn48
mip_slab3_chip13_chn54
mip_slab3_chip13_chn39
mip_slab3_chip13_chn6
mip_slab3_chip13_chn5
mip_slab3_chip13_chn4
mip_slab3_chip13_chn20
mip_slab3_chip13_chn40
mip_slab3_chip13_chn42
mip_slab3_chip13_chn58
mip_slab3_chip13_chn56
mip_slab3_chip13_chn2
mip_slab3_chip13_chn8
mip_slab3_chip13_chn11
mip_slab3_chip13_chn23
mip_slab3_chip13_chn37
mip_slab3_chip13_chn49
mip_slab3_chip13_chn63
mip_slab3_chip13_chn57
mip_slab3_chip13_chn1
mip_slab3_chip13_chn24
mip_slab3_chip13_chn17
mip_slab3_chip13_chn29
mip_slab3_chip13_chn43
mip_slab3_chip13_chn52
mip_slab3_chip13_chn55
mip_slab3_chip13_chn51
mip_slab3_chip13_chn0
mip_slab3_chip13_chn14
mip_slab3_chip13_chn26
mip_slab3_chip13_chn34
mip_slab3_chip13_chn46
mip_slab3_chip13_chn59
mip_slab3_chip13_chn62
mip_slab3_chip13_chn61

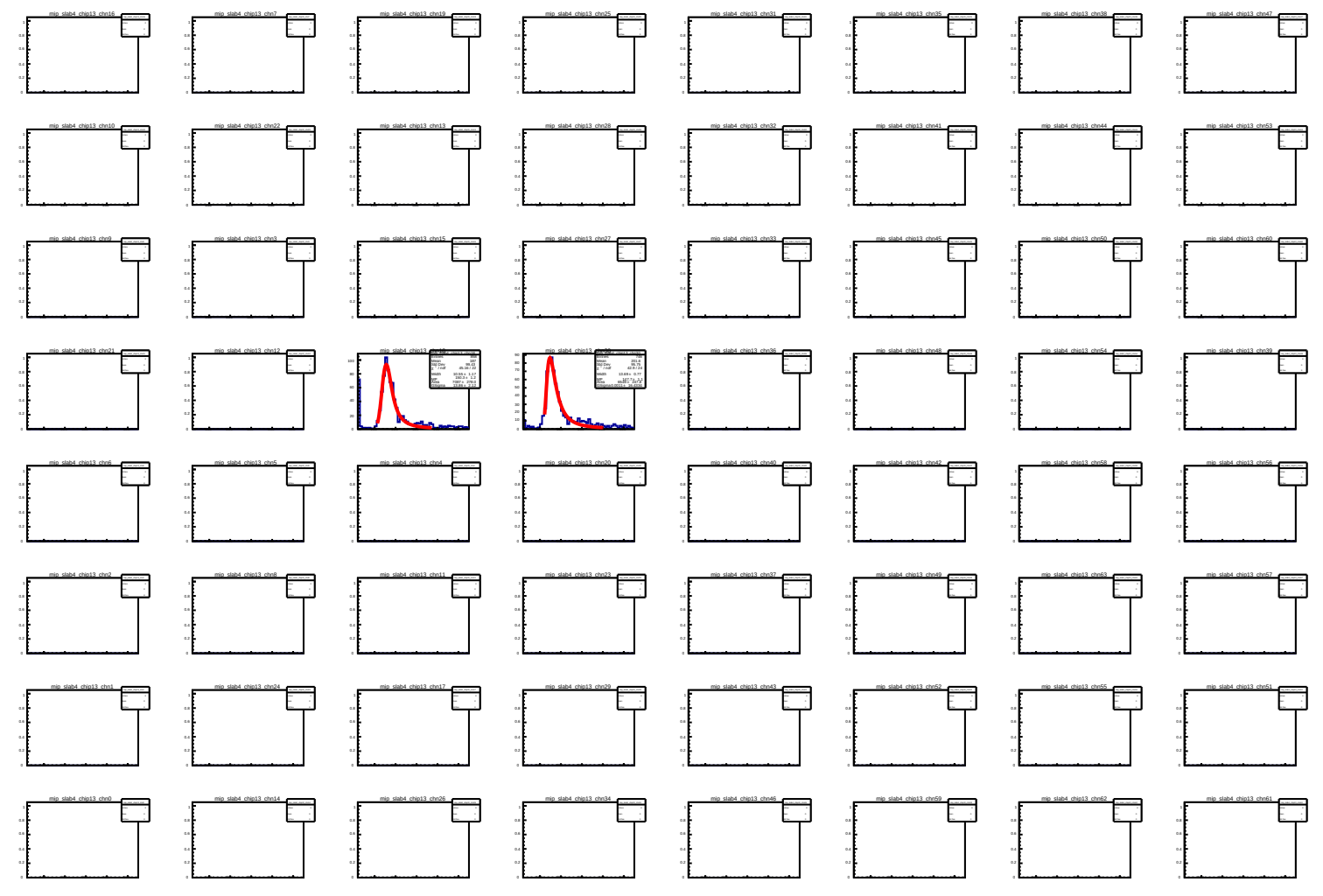
mip_slab4_chip13_chn16
mip_slab4_chip13_chn7
mip_slab4_chip13_chn19
mip_slab4_chip13_chn25
mip_slab4_chip13_chn31
mip_slab4_chip13_chn35
mip_slab4_chip13_chn38
mip_slab4_chip13_chn47
mip_slab4_chip13_chn10
mip_slab4_chip13_chn22
mip_slab4_chip13_chn13
mip_slab4_chip13_chn28
mip_slab4_chip13_chn32
mip_slab4_chip13_chn41
mip_slab4_chip13_chn44
mip_slab4_chip13_chn53
mip_slab4_chip13_chn9
mip_slab4_chip13_chn3
mip_slab4_chip13_chn15
mip_slab4_chip13_chn27
mip_slab4_chip13_chn33
mip_slab4_chip13_chn45
mip_slab4_chip13_chn50
mip_slab4_chip13_chn60
mip_slab4_chip13_chn21
mip_slab4_chip13_chn12
mip_slab4_chip13_chn18
Mean 199
Sigma 3.7
Top Conv 26.99 ± 0.22
χ² / ndf 30.55 / 27
Width 100.0 ± 3.2
MPV 7087 ± 29.0
Constant 1174 ± 19.0
mip_slab4_chip13_chn30
Mean 201.6
Sigma 3.5
Top Conv 55.71
χ² / ndf 62.9 / 27
Width 13.65 ± 0.77
MPV 8017 ± 52
Constant 3010 ± 45.0
mip_slab4_chip13_chn36
mip_slab4_chip13_chn48
mip_slab4_chip13_chn54
mip_slab4_chip13_chn39
mip_slab4_chip13_chn6
mip_slab4_chip13_chn5
mip_slab4_chip13_chn4
mip_slab4_chip13_chn20
mip_slab4_chip13_chn40
mip_slab4_chip13_chn42
mip_slab4_chip13_chn58
mip_slab4_chip13_chn56
mip_slab4_chip13_chn2
mip_slab4_chip13_chn8
mip_slab4_chip13_chn11
mip_slab4_chip13_chn23
mip_slab4_chip13_chn37
mip_slab4_chip13_chn49
mip_slab4_chip13_chn63
mip_slab4_chip13_chn57
mip_slab4_chip13_chn1
mip_slab4_chip13_chn24
mip_slab4_chip13_chn17
mip_slab4_chip13_chn29
mip_slab4_chip13_chn43
mip_slab4_chip13_chn52
mip_slab4_chip13_chn55
mip_slab4_chip13_chn51
mip_slab4_chip13_chn0
mip_slab4_chip13_chn14
mip_slab4_chip13_chn26
mip_slab4_chip13_chn34
mip_slab4_chip13_chn46
mip_slab4_chip13_chn59
mip_slab4_chip13_chn62
mip_slab4_chip13_chn61